

# ساخت فانتوم کل بدن و مطالعه امکان کنترل

## پرتوگیری بیماران پزشکی هسته‌ای در ایران

دکتر رقیه باقرزاده اکبری

گروه فیزیک، دانشکده علوم، دانشگاه تهران

### چکیده

هدف از این مقاله یافتن اطلاعاتی مربوط به مواد فانتوم ساخت ایران که از لاستیک طبیعی و مقدار کمی از چند عنصر می‌باشد که برای یافتن پارامترهای کالیبراسیون مربوط به اندازه‌گیری و محاسبه در بیمارانی که در پزشکی هسته‌ای، رادیودارو به منظور تشخیص و درمان به آنها تجویز شده است می‌باشد. نتایج این مطالعات نشان داد که مواد تشکیل دهنده این فانتوم (۱) معادل بافت است، (۲) به قیمت ارزان می‌توان بدست آورده، (۳) برآحتی در دسترس است، (۴) به اشکال غیرمنظم بدن انسان می‌توان درآورده، و (۵) برای کشورهای در حال توسعه بسیار مناسب است.

### مقدمه

این کار با اضافه کردن اجزایی مقادیر خیلی کم از گوگرد، اکسید روی، اسید روغنی مورفولینو - تیو - بتزول (Morpholino-Tio-Benzole) ۸ ولکانیزاسیون با حرارت دادن نمونه بمدت یک ساعت و دمای  $180^{\circ}\text{C}$  در فشار ۱۰۰ اتمسفر انجام گرفته است. چروکیده شدن مخلوط و باقیماندن هوا در درون آن با فشار وارد شده فوق به حداقل ممکن رسانده شده است.

در ایران ساخت قالب کل بدن به عنوان انسان مرجع یا استاندارد خیلی گران تمام می‌شد، بنابراین تصمیم گرفته شد که یک قالب فلزی مستطیل شکل به ابعاد  $39\text{cm} \times 37\text{cm}$  و به ضخامت  $2\text{cm}$  تهیه شود و سپس تعدادی از قطعات لاستیک قالب‌گیری شده با ابعاد فوق را با استفاده از چاقوئی موکتبری به اشکال مختلف قسمتهای بدن (سر و گردن و تنہ بالا و تنہ پایین و اندامها) تهیه شود. حسن این روش این است که در بین لایه‌های لاستیک می‌توان دزیمترهای کوچک و حتی اطاق یونسانز کوچک قرارداد و همچنین

در کاربرد رادیوداروهای با پرتوزایی زیاد هسته‌های پرتوزایی با نیمه عمر کوتاه به منظور تشخیص و درمان در پزشکی هسته‌ای توجه به محاسبات دز تابشی بیماران شده، ولی قصد این مطالعات ابتدا ساخت فانتوم و سپس آزمایش روی آن با جزئیات بیشتر درباره امکان کنترل خارجی پرتوگیری بیماران و اندازه‌گیری دز جذب شده بیمار از رادیوداروی تجویز شده و مقایسه آن با محاسبات دزیمتری داخلی است.

### روشها و مواد

مواد فانتوم با ترکیبات زیر در جدول ۱ از یک شرکت لاستیک‌سازی در ایران سفارش و خریداری شد، که از لاستیکی خام (SBR) به اضافه عناصر دیگر به مقدار کم با روش مکانیکی و مراحل حرارتی تهیه شده است. این مراحل که شامل مرحله انتقال از مایع به یک ماده جامد کشسان می‌باشد اصطلاحاً "ولکانیزاسیون گفته می‌شود.

توافق نتایج در حدود حسی تجربی قابل قبول به دست آمد.  
**جذب و پراکنندگی:** به منظور محاسبه جذب فتوالکترونیک در چنین مخلوطی از عناصر لازم است که یک عدد اتمی مؤثر ( $\bar{Z}$ ) تعیین گردد. با درصدهایی که در جدول ۱ داده شده است و مقادیر  $Z$  هر کدام از اجزاء و با استفاده از رابطه (Mayneord 1937) عدد اتمی مؤثر ( $\bar{Z}$ ) ماده فانتوم را می‌توان بدست آورد. عدد اتمی مؤثر حساب شده  $7/35$  به دست آمد که نزدیک به  $7/42$  برای آب و ماهیچه است (Johns 1974). چگالی این ماده نیز،  $1/103$  چندان از چگالی آب دور نیست. ضریب تضعیف کاهش ( $g/\mu$ ) این ماده در مورد انرژیهای مؤثر،  $35$ ،  $50$ ،  $90$ ،  $130$ ،  $364$ ،  $1250$  کیلوالکترون ولت با استفاده از اطلاعات به دست آمده برای دزهای عمق محاسبه شده در فوق به ترتیب  $304/0.00$ ،  $1860/0.00$ ،  $1350/0.00$ ،  $1140/0.00$  محاسبه شد.

دز جذب شده: دز جذب شده به تخمدانها از پرتوزائی در کبد  $8.86\%$  از مقدار پرتوزائی تزریق شده) مستقیماً با مقدار محاسبه شده از ضریب انباشته شده و روش (MIRD 1975) مقایسه گردید و نتایج زیر به دست آمد.

می‌توان هرگونه حفره‌ای را ایجاد کرد. (شکل ۱).  
**دزیمترهای ترمولومنسانس (TLD-LiF)** در بجهای خاصی (هر کدام محتوی دو دزیمتر) روی سطح فانتوم کل بدن و یا بیمار در هفت محل انتخاب شده (تیرویید، کبد، سر، جناغ سینه، استخوان خاجی، ران و تخمدانها یا بیضه‌ها) به منظور اندازه‌گیری و محاسبه پرتوزایی قرارداده شد و برای اندازه‌گیری و توزیع دز در عضوهای فوق از  $Tc-99m$  تزریق شد. جدول ۲ و ۳ برای کاربردهای تشخیصی و همچنین درمانی I-۱۳۱ مورد استفاده قرارگرفت. در ایران این دو هسته پرتوزا بیش از سایر هسته‌های پرتوزا کاربرد دارند.

## اندازه‌گیری و نتایج

**درصد دز عمق:** اندازه‌گیری درصد دز عمق در فانتوم لاستیکی معادل بافت (TER) با نتایج درصد دز عمق با فانتوم آب تقریباً تحت شرایط یکسان مقایسه شد. درصد دزهای عمقی محور مرکزی بوسیله دزیمتر نیمه استاندارد و Boldwein-Farmer با دزیمترهای TLD-LiF و با دزیمترهای Dosemeter اندازه‌گیری شد.

$$Dov \text{ (Berer 1968)} = 1 \times 10 \text{ } \mu\text{Gy}/\text{MBq} (= 1/100 \times 10 \text{ mrad/mCi})$$

$$Dov \text{ (MIRD 1975)} = 3/25 \times 10 \text{ } \mu\text{Gy}/\text{MBq} (= 3/25 \times 10 \text{ mrad/mCi})$$

$$Dov \text{ (TER)} = 2/45 \times 10 \text{ } \mu\text{Gy}/\text{MBq} (= 2/45 \times 10 \text{ mrad/mCi})$$

$$Dov = 1/80 \times 10 \text{ } \mu\text{Gy}/\text{MBq} (= 1/80 \times 10 \text{ mrad/mCi})$$

جدول (۱)- اجزاء ترکیب مواد فاتوم

N	S	Ti	O	Zn	C	H	درصد	عنصر
-	-	-	-	-	۸۳/۱۹	۹/۴۵	۹۲/۶۴	SBR*
-	-	-	۰/۱۱	-	۰/۷۶	۰/۱۲	۱/۰۲	Stearic Acid
-	-	-	-	-	۲/۷۹	-	۲/۷۹	C. Block
-	-	-	۰/۱۱	۰/۴۵	-	-	۰/۰۶	ZnO
۰/۰۶	۰/۱۴	-	۰/۰۳	-	۰/۲۸	۰/۰۳	۰/۰۴	Morpho lino-Tio Benzole
-	۱/۳۹	-	-	-	-	-	۱/۳۹	S
-	۰	۰/۲۳	۰/۲۲	-	-	-	۰/۰۵	TiO <sup>x</sup>
۰/۰۶	۱/۰۳	۰/۲۳	۰/۴۷	۰/۴۵	۸۷/۰۰	۹/۶۰	۹۹/۴۹	کل

\* = لاستیک پلاستیکی خام

جدول (۲)- مقادیر دزهای جذب شده به دو روش (MIRD و فرض چشم نقطه‌ای در هوا) و مقادیر دز اندازه‌گیری شده روی فاتوم کل بدن دو بیمار، برای MBq ۱۴۸ رادیوداروی نشاندار Tc-۹۹m که به بیماران اسکن کبد تجویز می‌شد.

دز جذب اندازه‌گیری شده بر حسب Rad			دز جذب محاسبه شده بر حسب Rad		
روی سطح بدن بیماران زن	روی سطح فاتوم TFR	روش چشم نقطه‌ای در هوا	روش MIRD در هوا	روش MIRD	عضو
۲۳۹ (۱۰۰)	۲۰۸ (۱۰۰)	۱۹۱ (۱۰۰)	۱۷۱ (۱۰۰)	۱۲۸۰ (۱۰۰)	کبد
۴۲ (۵/۶)	۳۵ (۶/۸)	۱۵/۴ (۸)	۱۵ (۸/۷)	۱۰۴ (۸)	جناغ سینه
۳۵ (۶/۷)	۳۰ (۶/۹)	۱۱/۰ (۶)	۱۲ (۶/۷)	۷۴ (۵/۸)	ستون مهره‌ها
۲۱ (۸/۸)	۱۹ (۹)	۸/۵ (۴/۵)	۹/۶ (۵/۴)	۱۳ (۱)	تخدمان
۲۶ (۱۱)	۲۳ (۱۱)	۷/۶ (۴)	۷/۸ (۴/۴)	۸۹۶ (۱۶)	استخوان خاجی
۱/۶۷ (۰/۷)	۱/۵ (۰/۷)	۱/۳۴۰ (۰/۷)	۳/۱ (۰/۷)	۸/۹۶ (۰/۷)	ران
۰/۱۶۷ (۰/۰۷)	۰/۱۵ (۰/۰۷)	۰/۱۳۴ (۰/۰۷)	۰/۳ (۰/۰۷)	۰/۸۹۶ (۰/۰۷)	ساق پا

چنانچه ملاحظه می‌شود به جز تخدمان و استخوان خاجی تقریباً پنج ستون باهم توافق دارند و افزایش در دو عضو فوق را به دلیل احتمالاً تابش‌های پراکنده و برگشتی و تأثیر بر همیگر می‌توان در نظر گرفت.

جدول (۳)- مقایسه دز جذب شده از طریق محاسبه و اندازه‌گیری روی سطح بدن در عضو تخدمان و مغز استخوان سالم

عضو	دز محسوب شده MIRD	دز محاسبه شده روی سطح بدن شخص	دز محاسبه شده در این مطالعات*	دز اندازه‌گیری شده در این مطالعات*
تخدمان	۰/۰۰۵۶	۰/۰۰۵۶	۰/۰۰۵۳	۰/۰۰۵۶
مغز استخوان	۰/۰۲۷	۰/۰۰۲۴	۰/۰۰۶۵	۰/۰۰۶۵
			جناغ	۰/۰۱۰۰

\* شامل دز از کبد و مغز استخوان خاجی و مثانه که به ترتیب ۸۶٪، ۷.۵٪ و ۷.۲٪ از ۱۴۸MBq تزریق شده در اسکن کبد.

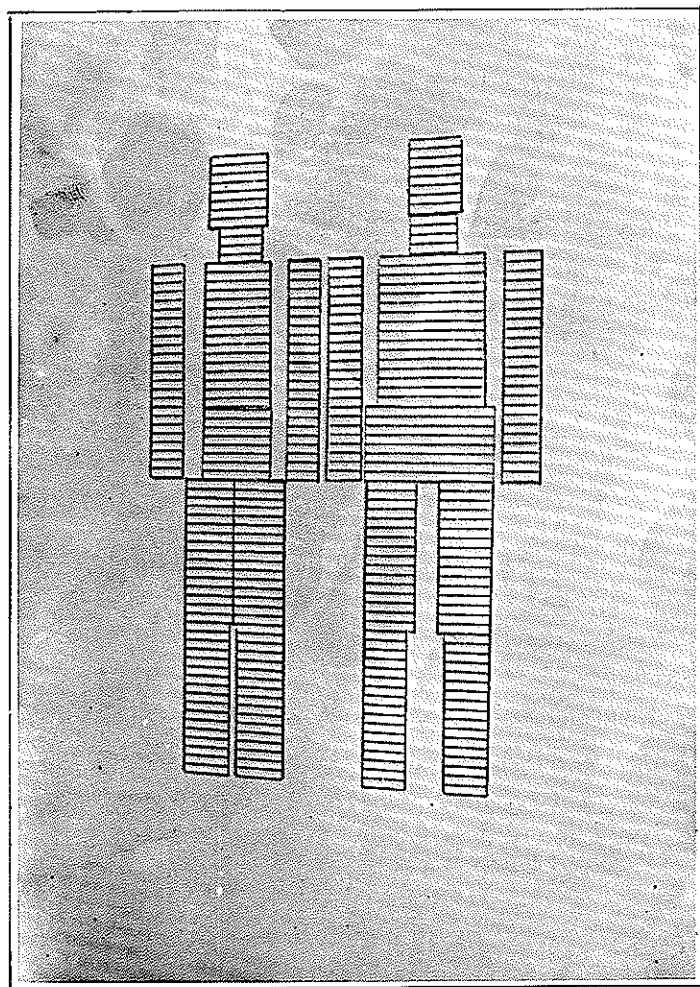
## بحث

سودمند است. همچنین در دزیمترا داخلی و کنترل کیفی و کمی خود رادیوداروها نیز بالرزش است.

با توسعه این تکنیک کنترل پرتوگیری بیماران از خارج از بدن مانند شاغلین امکان پذیر است و مطالعه توزیع هسته پرتوزادر درون بدن در حد تشخیصی رادیودارو بسیار

## REFERENCES

- 1) AKBARI R.B. (1978) Radionuclidic purity and Dosimetry related to the medical use of the Radionuclides: Fe-52, Tc-99m and I-123. Ph.D. Thesis. LONDON Univ., LONDON.
- 2) AKBARI R. B. (1982) Measurements of Dose to the patient from Adimistened Radonuclides, Proceeding World Congress on Medical Physics and Biological Engineering, 13th Inter Conf. on Medical and Biological Eng., and 6th Inter Conf. on Medical Physics.
- 3) BERGER M. J. (1968) Energy Deposition in water by photons from point isotropic source Journal of Nuclear Medicine MIRD Pamphlite No. 2 17.
- 4) Dillmon L. T. and VON DER LAGE F. C. (1974) The physics of Radiology, 3rd edition C. C. Thomas, USA. 746.
- 5) MAYNEORD W. V. (1937) ACTA Univ. Intern. Cancerum 2, 271.



شکل (۱)